

Monte Carlo w model checkingu

Sławomir Rudnicki

Niezawodność systemów współbieżnych i obiektowych

28 kwietnia 2010

- 1 Wprowadzenie
- 2 MC²
- 3 Inne metody randomizacyjne
- 4 Systemy probabilistyczne
- 5 Podsumowanie

Cel

Weryfikacja systemów komputerowych

- sprawdzenie, czy formuła LTL zachodzi dla danego systemu

Problemy:

- Problem weryfikacji LTL jest PSPACE-zupełny
- Eksplozja stanów
 - nie dysponujemy zasobami wystarczającymi do sprawdzenia całego systemu przez proste wyliczenie stanów.

Techniki i heurystyki

- weryfikacja symboliczna (SMC)
- weryfikacja z ograniczoną głębokością (BMC)
- redukcje częściowo-porządkowe

Monte Carlo

Sprawdzenie własności systemu bez wyliczania całego modelu.

- losowe próbkowanie ścieżek w celu znalezienia błędu
 - symulacja losowego wykonania programu
- ograniczenie prawdopodobieństwa wystąpienia błędu

Wprowadzenie

Dane:

- automat Büchiego B_S reprezentujący system
- formuła LTL φ :

$$\varphi ::= p \mid \neg\varphi \mid \varphi \wedge \varphi \mid \varphi \vee \varphi \mid \varphi U \varphi \mid X\varphi$$

Automat Büchiego – przypomnienie

$$B = (\Sigma, Q, Q_0, \delta, F)$$

- Σ – alfabet wejściowy
- Q – skończony zbiór stanów
- Q_0 – stan początkowy
- $\delta \subset Q \times \Sigma \times Q$ – relacja przejścia
- F – stany akceptujące

W skrócie:

- skończony automat dla nieskończonych słów
- akceptuje język ω -regularny

Podejście tradycyjne

- dla zaprzeczenia φ tworzymy automat Büchiego $B_{\neg\varphi}$
- Mnożymy oba automaty:

$$B = B_S \times B_{\neg\varphi}$$

- sprawdzamy pustość języka $L(B)$

Iloczyn automatów Büchiego – przypomnienie

$$B_1 = (\Sigma, Q_1, Q_0^1, \delta_1, F_1)$$

$$B_2 = (\Sigma, Q_2, Q_0^2, \delta_2, F_2)$$

$$B = B_1 \times B_2 = (\Sigma, Q, Q_0, \delta, F)$$

- $Q = Q_1 \times Q_2 \times \{0, 1, 2\}$
- $Q_0 = Q_0^1 \times Q_0^2 \times \{0\}$
- $F = Q_1 \times Q_2 \times \{2\}$
- $(s_1, s_2, x)\vec{a}(t_1, t_2, y) \iff s_1\vec{a}t_1 \wedge s_2\vec{a}t_2$

x		y	
0	→	1	jeżeli $t_1 \in F_1$
1	→	2	jeżeli $t_2 \in F_2$

Podejście tradycyjne – DDFS

DFS1(s):

$T \leftarrow T \cup (s, 0)$;

S.push(s);

for $t \in next(s)$ **do**

if $(t, 0) \notin T \wedge DFS1(t)$ **then**

return true;

end if

end for

if $s \in F \wedge (s, 1) \notin T \wedge DFS2(s)$ **then**

return true;

end if

S.pop;

return false;

Podejście tradycyjne – DDFS

DFS2(*s*):

$T \leftarrow T \cup (s, 1);$

for $t \in next(s)$ **do**

if $t \in S$ **then**

return *true*;

end if

if $(t, 1) \notin T \wedge DFS2(t)$ **then**

return *true*;

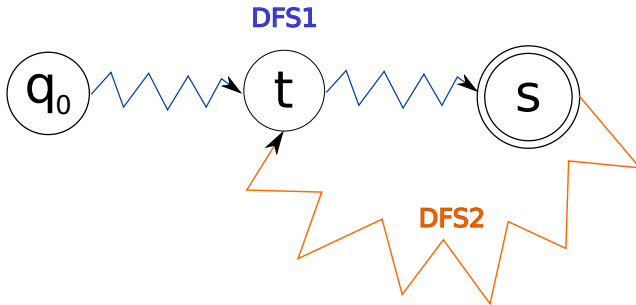
end if

end for

return *false*;

Podejście tradycyjne – DDFS

Poszukiwanie lassa ze stanem akceptującym w cyklu.



Monte Carlo

Zamiast przeglądać kolejne krawędzie wychodzące z każdego stanu, próbkujemy losowe “wykonania” programu (ścieżki w automacie B) w poszukiwaniu akceptującego cyklu.

Przestrzeń 1ass

- Prawdopodobieństwo przebiegu skończonego

$$\sigma = s_0 s_1 \dots s_n$$

$$P(s_0) = \frac{1}{|Q_0|}$$

$$P(s_0 s_1 \dots s_n) = P(s_0 \dots s_{n-1}) \cdot \frac{1}{m},$$

gdzie $m = |\{t \mid \exists a (s, a, t) \in \delta\}|$

Uwaga

- Każdą tranzycję z danego stanu uważamy za równie prawdopodobną.

Przestrzeń lass

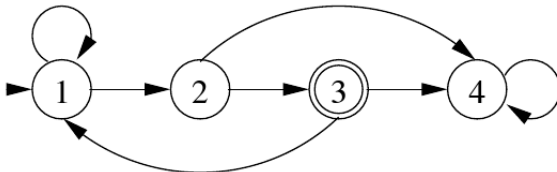
- Zmienna losowa akceptacji Z
- Wartość oczekiwana Z :

$$p_Z = P(Z = 1) = \sum_{\sigma \in L_a} P(\sigma)$$

Interpretacja

- p_Z jest prawdopodobieństwem, że losowe lasso w B jest akceptujące.

Przestrzeń lass – przykład



- cztery lassa: 1-1, 1-2-4-4, **1-2-3-1**, 1-2-3-4-4
- prawdopodobieństwa lass: $\frac{1}{2}$, $\frac{1}{4}$, $\frac{1}{8}$, $\frac{1}{8}$
- $p_Z = \frac{1}{8}$

Algorytm MC² – pojedyncza próbka

```
 $T = \emptyset, i = 0, f = 0;$   
 $s \leftarrow$  losowy stan z  $Q_0;$   
while  $(s, *) \notin T$  do  
   $i \leftarrow i + 1;$   
   $T \leftarrow T \cup (s, i);$   
  if  $s \in F$  then  
     $f \leftarrow i;$   
  end if  
   $s \leftarrow$  losowy następnik  $s;$   
end while  
if  $(s, i) \in T \wedge i < f$  then  
  return kontrprzykład  $T;$   
end if
```

Liczba próbek

Jak wielu próbek potrzebujemy?

- Schemat Bernoulliego:
 - N niezależnych prób
 - prawdopodobieństwo sukcesu p_Z
 - prawdopodobieństwo porażki $q_Z = 1 - p_Z$
- X - liczba prób do sukcesu
 - zmienna losowa z rozkładem geometrycznym

Liczba próbek

X - liczba prób do sukcesu

- zmienna losowa z rozkładem geometrycznym
- $P(X = k) = q_Z^{k-1} p_Z$
- $P(X \leq k) = \sum_{i=0}^k P(X = i) = 1 - q_Z^k$

Liczba próbek

Żądamy, aby $P(X \leq N) \geq 1 - \delta$:

$$1 - q_Z^N \geq 1 - \delta,$$

$$N \geq \frac{\ln(\delta)}{\ln(1 - p_Z)}$$

Zakładamy ponadto, że $p_Z \geq \varepsilon$:

$$N' \geq \frac{\ln(\delta)}{\ln(1 - \varepsilon)} \geq \frac{\ln(\delta)}{\ln(1 - p_Z)}$$

Złożoność algorytmu MC²

Aby stwierdzić, że

$$P(p_Z \geq \varepsilon) \leq \delta$$

należy przeanalizować $N = \frac{\ln(\delta)}{\ln(1-\varepsilon)}$ próbek.

Jeżeli przez D oznaczymy długość najdłuższej ścieżki prostej w B , to algorytm MC² działa w czasie

$$\mathcal{O}(N \cdot D)$$

i pamięci

$$\mathcal{O}(D)$$

Porównanie: k filozofów

zakleszczenie

ph	DDFS		MC ²		
	time	entr	time	max	avg
4	0:01	178	0:20	49	21
5	0:01	500	0:27	77	28
6	0:03	1772	0:45	116	42
7	0:11	5344	1:23	188	66
8	0:58	18244	2:42	365	99
9	3:54	57334	4:30	527	151
10	16:44	192476	7:20	720	234
12	-	oom	21:20	1665	564
14	-	oom	1:09:52	2994	1442
16	-	oom	3:03:40	7358	3144
18	-	oom	6:41:30	13426	5896
20	-	oom	19:02:00	34158	14923

zagłodzenie

ph	DDFS		MC ²		
	time	entr	time	max	avg
4	0:01	538	0:20	50	21
5	0:03	1986	0:28	79	30
6	0:17	9106	0:46	123	42
7	1:24	36031	1:19	182	64
8	7:56	161764	2:17	276	97
9	43:39	667221	4:47	474	155
10	-	oom	7:37	760	240
12	-	oom	21:34	1682	570
14	-	oom	1:09:45	3001	1363
16	-	oom	2:50:50	6124	2983
18	-	oom	8:24:10	17962	7390
20	-	oom	22:59:10	44559	17949

$$\delta = 0.1, \varepsilon = 1.8 \cdot 10^{-4}, N = 1257$$

Porównanie: protokół Needhama-Schrödera

mr	DDFS		MC ²				
	time	entr	time	mxl	cxl	N	\tilde{p}_z
4	0.38	607	1.68	87	87	103	6.4E-3
8	1.24	2527	11.3	208	65	697	0.9E-3
16	5.87	13471	10.2	223	61	612	1.1E-3
24	18.7	39007	3:06	280	44	12370	5.5E-4
32	36.2	85279	2:54	269	63	11012	6.2E-4
40	1:11	158431	1:46	325	117	7818	8.8E-4
48	2:03	264607	1:45	232	25	6997	9.8E-4
56	3:24	409951	6:54	278	133	28644	2.4E-4
64	5:18	600607	7:12	347	32	29982	2.3E-4
72	-	oom	11:53	336	63	43192	1.6E-4

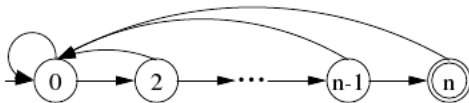
$$\delta = 10^{-3}$$

Warianty

- Oszacowanie p_Z z obu stron:

$$P(p_Z(1 - \varepsilon) \leq \tilde{p}_Z \leq p_Z(1 + \varepsilon)) \geq 1 - \delta$$

- Multi-lasso: ignorowanie lass nieakceptujących



Podsumowanie

Zalety

- Niewielki koszt obliczeniowy i pamięciowy
- Świetna do szybkiego wyszukiwania błędów

Wady

- Brak pewności!

Randomizacja DDFS

DFS1(*s*):

```
...  
for  $t \in next(s)$  do  
  if  $(t, 0) \notin T \wedge DFS1(t)$  then  
    return true;  
  end if  
end for  
...
```

DFS2(*s*):

```
...  
for  $t \in next(s)$  do  
  if  $t \in S$  then  
    return true;  
  end if  
  ...  
end for
```

Randomizacja DDFS

DFS1(*s*):

```
...  
for t ∈ next(s) do  
  if (t, 0) ∉ T ∧ DFS1(t) then  
    return true;  
  end if  
end for  
...
```

DFS2(*s*):

```
...  
for t ∈ next(s) do  
  if t ∈ S then  
    return true;  
  end if  
...  
end for
```

Przykład

```
c := 0; i := 0;
while i < 1000 do
  if
    true -> c := c + 1
    true -> c := c + 2
  fi
  i := i + 1
od
```

- $G(c < 2000 - d)$
- $G(i < 1000 \vee c \neq 1500)$

Randomizacja spamiętywania stanów

Motywacja:

- dla zatrzymania się i poprawności algorytmu DDFS nie potrzeba tablicy haszującej odwiedzonych stanów
- w tablicy można utrzymywać tylko niektóre stany

Problem: które stany zapamiętać?

- nie wiemy, które będą często odwiedzane
- wybierzmy losowo!

Spamiętywanie stanów: strategia dynamiczna

- przy każdym wycofaniu się DDFS ze stanu jest on usuwany z tablicy z prawdopodobieństwem P_{Del} , w przeciwnym wypadku jest zapamiętywany na zawsze.
- po k odwiedzinach prawdopodobieństwo spamiętania wynosi

$$P_{Est} = 1 - P_{Del}^k$$

Wada

- odwlekanie spamiętywania często odwiedzanych stanów

Spamiętywanie stanów: strategia dynamiczna

Prawdopodobieństwo, że stan zostanie spamiętany przy i -tym odwiedzeniu:

$$P_{Del}^{i-1} P_{Sto}$$

Średnia liczba odwiedzin do spamiętania:

$$\frac{1}{P_{Sto}}$$

Redukcja pamięci, o ile każdy stan jest odwiedzany k razy:

$$P_{Del}^k \cdot M$$

Wniosek

- kompromis między szybkością działania a wielkością użytej pamięci

Spamiętywanie stanów: strategia statyczna

- Stany do spamiętania są znane z góry
- Każdy stan zostaje albo spamiętany z prawdopodobieństwem P_{Sto} albo zapomniany na zawsze

Wada

- Niewrażliwość na liczbę odwiedzin

Strategie spamiętywania: wyniki

	States	Peak	Saving	Transitions	Overhead
SPIN	17068	17068	0%	32077	1.00
Dynamic Strategy					
$P_{sto} = 0.50$	10998	11421	33%	46074	1.44
$P_{sto} = 0.10$	6724	8263	52%	136344	4.25
$P_{sto} = 0.01$	5559	7407	57%	1110526	34.62
Static Strategy					
$P_{sto} = 0.75$	12807	12812	25%	38761	1.21
$P_{sto} = 0.50$	8568	9661	43%	63662	1.98
$P_{sto} = 0.40$	6852	8417	51%	390737	12.18

Algorytm Petersona

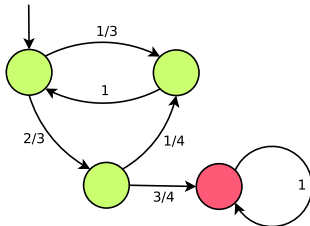
Systemy probabilistyczne

Łańcuch Markowa z czasem dyskretnym

$$\mathcal{M} = (S, s_0, P)$$

- S – zbiór stanów,
- s_0 – stan początkowy,
- $P : S^2 \rightarrow [0; 1]$ – rozkład prawdopodobieństw przejścia taki, że:

$$\forall s \in S \sum_{t \in S} P(s, t) = 1$$



Rozszerzenie LTL o więzy dla prawdopodobieństwa spełnienia formuły w losowym przebiegu:

$$\psi ::= P_{\triangleleft b}[\phi] \mid P_{=?}[\phi],$$

- ϕ – formuła LTL,
- $\triangleleft \in \{<, >, \leq, \geq\}$
- b – ograniczenie na prawdopodobieństwo

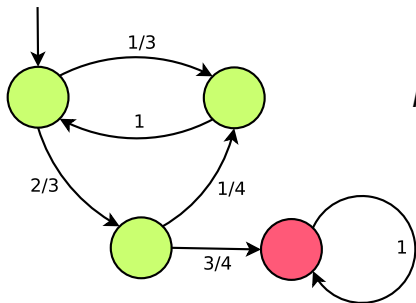
Macierze rzadkie

- Interpretujemy P jako macierz (stochastyczną) prawdopodobieństw przejść
- Badamy zachowanie ciągu:

$$P, P \cdot P, P \cdot P \cdot P, \dots, P^k, \dots$$

w celu weryfikacji własności ψ

Macierze rzadkie: przykład

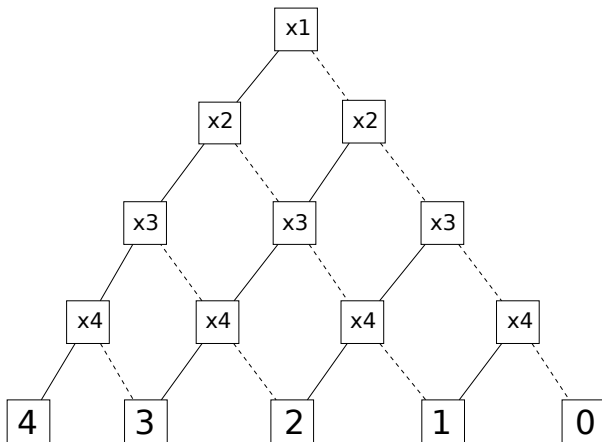


$$P = \begin{bmatrix} & 1/3 & 2/3 & \\ 1 & & & \\ & 1/4 & & 3/4 \\ & & & 1 \end{bmatrix}$$

Weryfikacja symboliczna

- Analogicznie do SMC, reprezentujemy formułę i zachowanie modelu jako BDD
- W wierzchołkach terminalnych zamiast $\{0, 1\}$ znajdują się prawdopodobieństwa
 - Multi-Terminal Binary Decision Diagram – reprezentuje funkcję $\{0, 1\}^m \rightarrow \mathbb{R}$

MTBDD – przykład



Aproksymacja Monte Carlo

Będziemy rozpatrywać tylko podzbiór $EPF \subset LTL$:

- zmienne zdaniowe i ich negacje,
- alternatywa, koniunkcja,
- operatory temporalne U i X .

Monotoniczność

Formuły EPF są *monotoniczne*:

$$\forall k > 0 \forall \pi_k \quad \pi \models_{\mathcal{M}} \phi \Rightarrow \pi^+ \models_{\mathcal{M}} \phi,$$

gdzie π^+ jest dowolną ścieżką o prefiksie π

Aproksymacja Monte Carlo

Sprawdzanie własności przez próbkowanie ścieżek w łańcuchu Markowa.

- połączenie BMC i aproksymacji Monte Carlo:
 - próbkowanie tylko ścieżek długości k

Aproksymacja Monte Carlo

Weryfikujemy własność $P_{\geq b}[\phi]$:

- dobieramy $k \sim \log(|S|)$
- próbkujemy N ścieżek długości k obliczając oszacowanie prawdopodobieństwa spełnienia formuły:

$$\frac{A}{N} \approx P_k[\phi]$$

- jeżeli $P_k[\phi] \geq b$, to z monotoniczności również $P[\phi] \geq b$, w przeciwnym wypadku zwiększamy k

Poprawność aproksymacji

Chcemy uzyskać prawdopodobnie dokładną aproksymację $\tilde{p} \approx P_k[\phi] \stackrel{\text{ozn.}}{=} p$:

$$P(p - \varepsilon \leq \tilde{p} \leq p + \varepsilon) \geq 1 - \delta$$

Aby tak było, należy wziąć $\mathcal{O}(\ln \frac{1}{\delta} \cdot \frac{1}{\varepsilon})$ próbek (ścieżek).

Poprawność aproksymacji

Nierówność Chernoffa-Hoeffdinga

Dla m niezależnych zmiennych losowych o tym samym rozkładzie Bernoulliego (z prawdopodobieństwem sukcesu p), dla dowolnego $\varepsilon \in [0; 1]$:

$$P_\varepsilon = P\left(\frac{1}{m} \sum_i X_i > p + \varepsilon\right) \leq e^{-m\Theta(\varepsilon)}$$

Podsumowanie

Zalety

- niskie zużycie pamięci
- możliwe zrównoleglenie obliczeń

Wady

- stosunkowo powolne dla niewielkich systemów
- z natury niedokładne

Zastosowania




Model checking systemów deterministycznych:

- szybkie odnajdywanie błędów
- niemożliwa pełna weryfikacja

Systemy probabilistyczne:

- efektywne znajdowanie dobrych oszacowań na prawdopodobieństwo
- zastosowania w bioinformatyce, m.in.:
 - symulacje reakcji chemicznych
 - kaskady sygnałowe w błonach komórkowych

Bibliografia

-  Sistla A. P., Clarke E. M.,
The complexity of propositional linear temporal logics,
Journal of the ACM, vol. 32 n. 3, pp. 733–749, 1985
-  Vardi, M. Y., Wolper, P.,
An automata-theoretic approach for automatic program verification,
Proc. IEEE Symposium on Logic in Computer Science, pp. 332–344, 1986.
-  Brim L., Černá I., Nečesal M.,
Randomization helps in LTL model checking,
Proc. Joint International Workshop, PAPM-PROBMIV 2001,
pp. 105–119, Springer 2001.

Bibliografia



Guirado G., Herault T., Lassaigne R., Peyronnet S.,
*Distribution, Approximation and Probabilistic Model
Checking*,
ENTCS, Vol. 135, n. 2, pp. 19–30, Elsevier 2006



Donaldson R., Gilbert D.,
*A Monte Carlo model checker for probabilistic LTL with
numerical constraints*,
DCS Technical Report, Uniwersytet w Glasgow, 2008.